

# مقایسه نتایج مدل ریاضی رسوبگذاری در مخزن سد علويان مراغه با داده‌های آبنگاری

محمد تقی علمی<sup>۱</sup>

atabak feizi khankandy<sup>۲</sup>

یوسف حسن‌زاده<sup>۳</sup>

(دریافت ۸۷/۸/۲۹ پذیرش ۸۷/۴/۱۳)

## چکیده

رسوبگذاری در مخزن سد نه تنها سبب کاهش ظرفیت و عمر مفید مخزن می‌شود، بلکه ضمن ایجاد اشکالات عدیده در باز و بسته کردن دریچه‌های عمقی و نیمه عمقی سد، موجب افزایش سطح مخزن و مآل افزایش تبخیر و تلفات آب می‌شود. این مسائل، اهمیت بروزی پدیده انباست رسوب در مخازن جهت پیش‌بینی نحوه توزیع رسوب و ارائه راهکارهای مدیریتی در کنترل مخازن را کاملاً مشهود می‌سازد. مدل‌های ریاضی یکی از ابزارهای مهم برای پیش‌بینی مقدار رسوبگذاری در مخازن سدهای ذخیره‌ای و برآورد عمر مفید آنهاست. این مدل‌ها مبتنی بر تحلیل معادلات حاکم بر پدیده‌های مؤثر در انتقال، توزیع، انباست و آب شستگی رسوب می‌باشند. در مقاله حاضر، بعد از واسنجی مدل Gstars3.0 به کمک داده‌های آبنگاری مخزن سد علويان مراغه، نمودارهای حجم-سطح-ارتفاع و نحوه رسوبگذاری در مقطع طولی و مقاطع عرضی برای حالت‌های بستر اولیه، آبنگاری شده و نتایج حاصل از تحلیل پدیده رسوبگذاری به کمک مدل برای یک دوره ۵۰ ساله ترسیم و مورد مقایسه و ارزیابی قرار گرفته و عمر مفید مخزن برآورد شده است. نتایج محاسبات بیانگر آن است که پس از طی ۵۰ سال، حجم رسوبات انباسته شده در مخزن به حدود ۱۵ میلیون متر مکعب بالغ می‌شود که تقریباً معادل ۲۵ درصد ظرفیت مفید مخزن است.

**واژه‌های کلیدی:** مدل ریاضی، رسوبگذاری مخزن سد، سد علويان، مدل Gstars3.0

## Comparison of a Mathematical Sedimentation Model Results and Hydrographically Measured Data in Alavian Dam Reservoir

Yousef Hassanzadeh<sup>1</sup>

Atabak Feizi khankandy<sup>2</sup>

Mohammad Tagi Alami<sup>3</sup>

(Received Nov. 20, 2007 Accepted July 3, 2008)

### Abstract

Sedimentation in reservoirs not only reduces the storage capacity but also decreases the useful life of the reservoirs. It also creates problems in operation of bottom outlets and increases, the reservoir surface area and the evaporation loss. To alleviate these problems, it is necessary to investigate the sediment deposit distribution in an attempt to make predictions of that the process possible. Management measure are also required to control reservoir sedimentation. Mathematical models are used today to evaluate reservoir sedimentation rates and to predict the reservoir useful life. These models are based on the analysis of equations governing sediment transportation, distribution, deposition, and scouring. In this study, the hydrographical measured data obtained from Alavian Dam in Maragheh are first used to calibrate the mathematical model. Then, the Volume-Area-Height variation graphs and the manner of sedimentation along longitudinal and transversal sections are plotted, compared, and evaluated for the pre-sedimentation, post-sedimentation stages and the mathematical model results for a period of 50 years. The results obtained from this study shows that after 50 years of reservoir operation, the sediment deposit volume in the reservoir amounts to about 15 MCM, which accounts for 25 percent of the reservoir active capacity.

**Keywords:** Mathematical Model, Reservoir Sedimentation, Alavian Dam, Gstars3.0 Model.

1. Prof. of Civil Engineering, University of Tabriz,

yhassanzadeh@Tabrizu.ac.ir

2. MSc. Graduate Dept. of Civil Engineering, University of Tabriz

3. Assis. Prof. of Civil Engineering, University of Tabriz

۱- استاد دانشکده مهندسی عمران، دانشگاه تبریز، yhassanzadeh@Tabrizu.ac.ir

۲- دانش آموخته کارشناسی ارشد مهندسی عمران-آب، دانشگاه تبریز

۳- استادیار دانشکده مهندسی عمران، دانشگاه تبریز

## ۱- مقدمه

چانگ و همکاران نیز در سال ۱۹۹۶ مکانیسم توزیع رسوبگذاری در رودخانه‌ها و مخازن سدها را با مدل Fluvial12 بیان نمودند [۱۰].

حسن زاده و اعلمی در سال ۱۹۹۷، تغییرات نیمرخ طولی بستر یک مدل هیدرولیکی را متعاقب احداث یک سد ذخیره‌ای در عرض آن از دیدگاه تئوری مورد تجزیه و تحلیل قرار داده و معادلات حاکم بر پدیده را با اعمال روش تفاضلات محدود مورد بررسی قرار دادند [۱۱]. دکسار<sup>۵</sup> و همکاران در سال ۲۰۰۱، تأثیرات آب گل آلود در روند رسوبگذاری در مخازن را با استفاده از یک مدل آزمایشگاهی و حل عددی جریان با ملحوظ داشتن سیلاب هزار ساله مخزن لوزان<sup>۶</sup> در آلب سوئیس<sup>۷</sup> مورد مطالعه قرار دادند [۱۲]. فاکس<sup>۸</sup> و همکاران در سال ۲۰۰۶، ضمن تبیین مکانیسم فرایش ناشی از تغییرات غلاظتهای جریانهای عرضی، یک معادله تجربی انتقال رسوب برای شرایط نامتعادل ارائه کردند [۱۳]. راونس<sup>۹</sup> در سال ۲۰۰۷، نتایج داده‌های اندازه‌گیری فرایش و رسوبگذاری در داخل یک فلوم آزمایشگاهی را با نتایج مدل SEDFLUME مورد مقایسه قرار داد [۱۴].

مدل کامپیوتی Gstars<sup>۱۰</sup>، مدل تعیین یافته لوله جریان برای شبیه‌سازی رودخانه‌های آبرفتی است که ابتدا توسط مولیناس و یانگ<sup>۱۱</sup>، جهت شبیه‌سازی شرایط جریان به روش شبه دو بعدی و شبیه‌سازی تغییر هندسی کانال به روش شبه سه بعدی در سال ۱۹۸۷ تجدید نظر و اصلاح گردید [۱۵] و [۱۶]. این مدل توسط یانگ و همکارانش ارائه گردید [۱۷] و [۱۸].

شایان ذکر است که Gstars3<sup>۱۳</sup> مدل تعیین یافته انتقال رسوب برای شبیه‌سازی رودخانه‌های آبرفتی که آخرین نسخه (نسخه ۳) از سری مدل‌های عددی برای شبیه‌سازی انتقال جریان آب و رسوب در رودخانه آبرفتی می‌باشد در سال ۲۰۰۲ ارائه گردید [۲۱-۱۷].

بررسی نحوه پخش رسوبات ورودی به مخازن سدها جهت تعیین تراز آستانه دریچه‌های عمقی و جانمایی آبگیرها حائز اهمیت فراوان است. به هنگام رسوبگذاری، مواد درشت دانه در فاصله‌ای دورتر از بدنه سد، با تشکیل دلتا در مصب مخزن اباشت می‌شوند؛ در حالی که مواد ریزدانه بالا فاصله در بالا دست سد، یعنی در محل حجم مرده مخزن ترسیب می‌شوند. از اثرات منفی رسوبگذاری در سدها، می‌توان کاهش حجم ذخیره آنها را نام برد. نتیجه بررسی‌ها نشان می‌دهد که سدهای بسیاری در اسپانیا، الجزایر، ترکیه و سایر کشورهای واقع در مناطق خشک و نیمه خشک در اثر رسوبگذاری و کاهش ظرفیت ذخیره، از بهره‌برداری خارج شده‌اند [۴-۱].

مدل‌های ریاضی یکی از ابزارهای معمول امروزه برای پیش‌بینی مقدار و نحوه رسوبگذاری در مخازن، است. مدل‌های ریاضی نیز برای بررسی رسوبگذاری در مخازن سد به دو دسته مدل‌های تجربی و مدل‌های ریاضی مبتنی بر معادلات حاکم بر جریان و رسوب تقسیم می‌شود. مدل‌های تجربی براساس مشاهدات و اندازه‌گیریهای محلی از مخازن موجود پایه‌گذاری شده‌اند. این اطلاعات، رابطه بین پارامترهای مؤثر بر پدیده را به دست می‌دهد که از جمله این روابط، روش کاهش سطح را می‌توان نام برد. مدل‌های ریاضی، مبتنی بر معادلات حاکم بر جریان و رسوب و براساس حل ریاضی تمام پدیده‌های مؤثر در انتقال، توزیع و اباشت رسوب بنا نهاده شده‌اند [۵].

امروزه مدل‌های ریاضی مختلفی برای پیش‌بینی مقدار و نحوه رسوبگذاری در مخازن سدها ارائه شده‌اند که از جمله این مدل‌ها می‌توان به مدل Gstars3.0، HEC-6، Fluvial12 و SSIIM اشاره کرد.

محققان مختلفی از جمله کوثر<sup>۱</sup> و همکاران در سال ۱۹۸۰ و داوودی و ونونی<sup>۲</sup> در سال ۱۹۸۶، کارهای انجام شده در مورد شبیه‌سازی عددی در هیدرولیک رسوب را مورد بررسی قرار دادند و با اعمال فرضیات ساده کننده، معادلات حاکم بر روند رسوبگذاری و فرایش را تحلیل کرده‌اند [۶ و ۷].

گیل<sup>۳</sup> در سال ۱۹۸۳، معادله خطی پخشی تشریح کننده روند رسوبگذاری و فرایش را با سری فوریه و روش‌های تابع خطی حل کرد [۸]. لین<sup>۴</sup> در سال ۱۹۸۷، راه حل‌های غیر خطی برای رسوبگذاری و فرایش را که نسبت به راه حل‌های خطی تطابق بهتری با داده‌های آزمایشگاهی از خود نشان می‌دهند ارائه داد [۹].

<sup>5</sup> De Cesare

<sup>6</sup> Luzzon

<sup>7</sup> Swiss Alp

<sup>8</sup> Fox

<sup>9</sup> Ravens

<sup>10</sup> Generalized Stream Tube Model for Alluvial River Simulation (Gstars)

<sup>11</sup> Molinas and Yang

<sup>12</sup> Yang and Simoes

<sup>13</sup> Generalized Sediment Transport Model for Alluvial River Simulation Version3.0

<sup>1</sup> Cunge

<sup>2</sup> Dawdy and Vanoni

<sup>3</sup> Gill

<sup>4</sup> Lyn

دارای ظرفیت مفید ۵۷ میلیون متر مکعب است. طول دریاچه این سد، ۳/۵ کیلومتر می‌باشد. هدف اصلی احداث این سد، تأمین آب مورد نیاز کشاورزی در محدوده شهرستانهای مراغه و بتاب با وسعتی برابر ۱۲۰۰ هکتار، تأمین بخشی از آب شرب شهرستان مراغه، تأمین آب مورد نیاز صنایع منطقه و کنترل سیالاب رودخانه صوفی چای می‌باشد [۲۷ و ۲۸].

### ۳- معادلات حاکم

#### ۳-۱- معادله پیوستگی رسوب

در مدل Gstars3 که به صورت شبه دو بعدی عمل می‌کند، محاسبات روندیابی رسوب بر پایه اصل بقای جرم رسوب استوار است. معادله پیوستگی در جریان غیر دائمی یک بعدی به صورت زیر بیان می‌شود

$$\frac{\partial Q_s}{\partial x} + \eta \frac{\partial A_d}{\partial t} + \frac{\partial A_s}{\partial t} - q_{lat} = 0 \quad (1)$$

که در آن

$Q_s$  حجم رسوب در واحد حجم لایه بستر،  $A_d$  حجم رسوب بستر در واحد طول،  $A_s$  حجم رسوب معلق در مقطع عرضی در واحد طول،  $q_{lat}$  دبی حجمی رسوب و  $q_{lat}$  جریان رسوب جانبی می‌باشد. با فرض اینکه تغییر غلظت رسوب معلق در یک مقطع عرضی بسیار کوچک‌تر از تغییر بستر رودخانه باشد، یعنی

$$\frac{\partial A_s}{\partial t} \ll \eta \frac{\partial A_d}{\partial t} \quad (2)$$

و همچنین در طی یک گام زمانی، پارامترهای تابع انتقال رسوب برای مقطع عرضی ثابت باقی بمانند، یعنی:

$$\frac{\partial Q_s}{\partial t} = 0 \quad \text{و یا} \quad \frac{\partial Q_s}{\partial x} = \frac{dQ_s}{dx} \quad (3)$$

آنگاه معادله پیوستگی رسوب به صورت زیر بیان می‌شود

$$\eta \frac{\partial A_d}{\partial t} + \frac{dQ_s}{dx} = q_{lat} \quad (4)$$

معادله فوق در Gstars3 رابطه حاکم در روندیابی رسوبات در رودخانه‌ها و آبراهه‌ها را بیان می‌کند.

گفتنی است که فرضیات فوق هنگامی قابل اعمال است که در هندسه مقطع عرضی تغییرات جزئی وجود داشته باشد؛ یعنی فرسایش و رسوبگذاری قابل توجهی در هر گام زمانی رخ ندهد. این فرض امکان مجزا نمودن محاسبات روندیابی جریان آب و رسوب را فراهم می‌آورد. در عمل، این شرایط را فقط می‌توان با انتخاب گام زمانی به اندازه کافی کوچک، ایجاد نمود.

در Gstars3، ابتدا نیمرخهای سطح آب و سپس مقاطع عرضی به چند مقطع با دبی‌های مساوی تقسیم گردیده و مطابق شکل ۱ به عنوان لوله‌های جریان فرض می‌گردد. در حقیقت لوله‌های جریان که تعداد آنها در Gstars3 حداً ۵ عدد می‌باشد همانند کانال‌های

مدل مذکور توسط کلینو و اسیاد<sup>۱</sup> در سال ۲۰۰۲، به منظور تعیین وضعیت فرسایش و رسوبگذاری در رودخانه درنس که یکی از سرشاخه‌های رودخانه رون در کشور سوئیس می‌باشد، مورد استفاده قرار گرفته است. نتایج حاصله بیانگر آن است که رسوبات اندازه‌گیری شده با مقادیر محاسبه شده توسط مدل همخوانی خوبی از خود نشان داده است [۲۲].

در ایران نیز با توجه به موقعیت جغرافیایی کشور از یک سو و اهمیت کنترل و ذخیره منابع آبهای سطحی از سوی دیگر، بررسی مکانیسم رسوبگذاری از اهمیت ویژه‌ای برخوردار است. مدل‌های مختلف سد توسط اعلمی در سال ۱۳۸۳ مورد مطالعه و بررسی قرار گرفت و نتایج با داده‌های روش شبکه‌های عصبی مورد مقایسه و ارزیابی شد. نتایج حاکی از توانایی و سادگی مدل Gstars در مقایسه با سایر مدل‌های ریاضی می‌باشد [۲۳].

در مطالعه دیگری توسط تربن در سال ۱۳۸۳، سه مدل Fluvial12 و SSIIM، Gstars3.0 و Gstars3.0 نسبت به دو مدل دیگر برتر شناخته گردید [۲۴].

بررسی نحوه توزیع رسوب در سد مخزنی یامچی اردبیل با استفاده از مدل HEC-6 توسط منتظری در سال ۱۳۸۵ انجام شد و با روشهای تجربی کاهش سطح و افزایش سطح مورد مقایسه قرار گرفت. نتایج حاکی از دقت کمتر مدل HEC-6 نسبت به روشهای تجربی بود [۲۵].

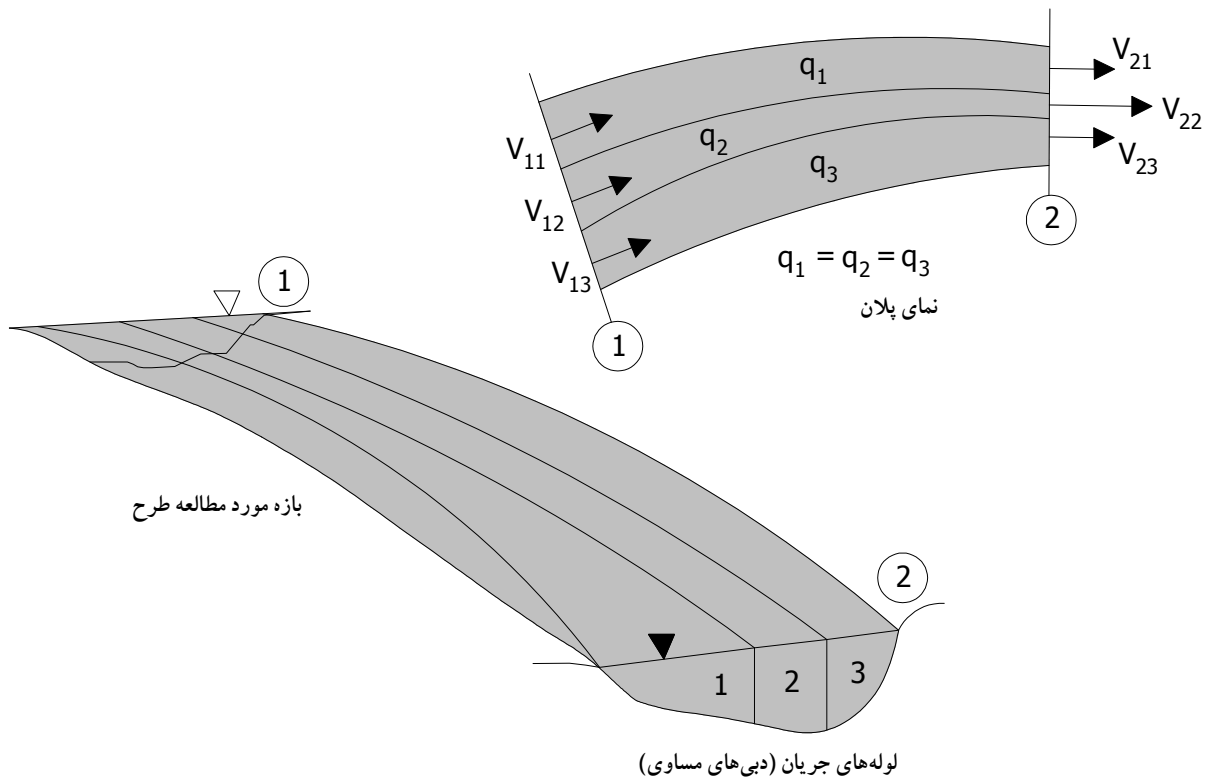
بررسی روند رسوبگذاری سد کارده مشهد با مدل ریاضی Gstars3.0 توسط مرسولی در سال ۱۳۸۶ انجام گرفت و واسنجی و صحت سنجی نتایج مدل با دو دوره زمانی مختلف آبنگاری امكان پذیر گردید. نتایج، گویای انطباق خوب مدل ۳.۰ با داده‌های اندازه‌گیری شده بود [۲۶].

در این تحقیق نتایج حاصل از کاربرد مدل ریاضی Gstars3.0 در رسوبگذاری مخزن سد علوفیان مراغه با داده‌های حاصل از آبنگاری مخزن مورد مقایسه و ارزیابی قرار گرفت و ضمن تبیین مکانیسم تغییرات پروفیل بستر نسبت به زمان و مکان، عمر مفید مخزن برآورد شد.

### ۲- رسوبگذاری در مخزن سد علوفیان

سد علوفیان در دامنه‌های جنوبی کوه سهند، در ۱۲۰ کیلومتری جنوب غربی تبریز و به فاصله ۳/۵ کیلومتری شهر مراغه بر روی رودخانه صوفی چای احداث شده است و یکی از بزرگ‌ترین سدهای خاکی آذربایجان شرقی محسوب می‌شود. مخزن این سد

<sup>۱</sup> Cellino and Essyad



[۱۷] شکل ۱-نمایش نمایی مفهوم لوله‌های جریان مورد استفاده در Gstars3

### ۲-۳-رونديابي مخزن

رونديابي مخزن با روش گام به گام استاندارد و با اعمال بعضی اصلاحات انجام می‌گيرد. درون زير قطعه مخزن، دبی آب با يك ميانگين وزني با استفاده از دبی‌های جريان ورودي رودخانه و خروجي مخزن محاسبه مي‌گردد. پaramتر وزني برای هر مقطع عرضي، مساحتی از سطح مخزن است که به وسیله آن مقطع عرضي نشان داده شده است. به عنوان مثال، برای حالت نشان داده شده در شکل ۲، زير قطعه مخزن در مقطع عرضي ۴ شروع مي‌شود (زير قطعه مخزن به وسیله مقاطع عرضي که خط القعرشان پايان تراز تراز مخزن است، تعریف مي‌گردد). دبی  $Q_4$  عبارت است از

$$Q_4 = Q_{in} - a_4(Q_{in} - Q_{out}) \quad (5)$$

كه در آن،  $A_4 / A_{res} = a_4$  بوده و  $A_4$  ييانگر سطح مخزن در مقطع عرضي ۴ و  $A_{res}$  مساحت کل سطح مخزن مي‌باشد.

در حالت کلي داريم

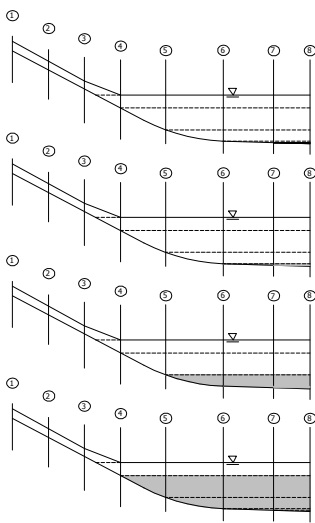
$$Q_j = Q_{in} - (Q_{in} - Q_{out}) \sum_{k=1}^j a_k \quad (6)$$

كه در آن

يک بعدی معمولي با مشخصات هيدروليكي معين عمل مي‌کند و محلهای لوله‌های جريان در رونديابي رسوب در درون هر يك از آنها برای هر گام زمانی محاسبه و به صورت مستقل از هم انجام مي‌گيرد.

تركيب مواد بستر<sup>۱</sup> برای هر لوله جريان در آغاز هر گام زمانی محاسبه مي‌شود و همچنین محاسبات لا يه بندی بستر و تشکيل سپر حفاظتی در بستر به صورت جداگانه برای هر لوله جريان انجام مي‌گيرد. تغييرات جانبی تركيب مواد بستر نيز محاسبه شده و در محاسبات تركيب مواد بستر و لا يه بندی آن برای هر لوله جريان، منظور مي‌گردد. اين روش امكان محاسبه تغييرات پaramترهای هيدروليكي و رسوبی مقطع عرضي را به روش نيمه دو بعدی فراهم می‌سازد. به عنوان مثال، تنهشيني و فرسايش مي‌توانند در يك مقطع عرضي معلوم، به صورت همزمان رخ دهند. مدل‌های يك بعدی متداول، قادر به تحليل اين موقعیت نمي‌باشد، اما از آنجايي که فرسايش يا رسوبگذاري به صورت جداگانه درون هر لوله جريان محاسبه مي‌گردد، در نتيجه Gstars3 مي‌تواند اين موقعیت را مدل کند [۱۷ و ۱۸].

<sup>۱</sup> Bed Material Composition



شکل ۳- نمایش حجمها برای تهیه جدول ظرفیت [۱۴]

#### ۴- نحوه مدل سازی

در مطالعه موردي حاضر، برای معرفی هندسه مخزن به طول تقریبی ۳۵۰۰ متر به مدل، از نقشه های توپوگرافی مخزن با مقیاس ۱:۲۰۰۰ که از سازمان نقشه برداری کشور تهیه شده، استفاده گردیده است.

تعداد ۲۹ مقطع عرضی با فواصل تقریبی ۱۵۰ متر با توجه به توپوگرافی، به مدل معرفی شده است. نیمرخ عرضی هر مقطع نیز بر حسب فاصله از نقطه مبدأ در ساحل سمت چپ در جهت جريان و کد ارتفاعی بستر و موقعیت آن بر حسب فاصله از سد، مشخص شده است.

مشخصات هیدرولیکی مورد نیاز برای مدل کردن مخزن عبارت اند از:

۱- ترازهای سطح آب متناسب با دبی جريانهای ورودی مخزن برای دوره های زمانی مورد نظر، که برای مخزن مورد مطالعه از دبی های متوسط ماهانه که در طول هر ماه ثابت فرض شده اند استفاده گردیده است. منحنی دبی- اشل مقطع در ورودی مخزن به عنوان شرط مزدی بالادست مدل برای محاسبات نیمرخ سطح آب در نظر گرفته شده است.

۲- در اینجا رابطه دبی جامد رسوی به صورت تابعی از دبی جريان مایع با توجه به داده های آماری موجود به شرح زیر استخراج و به مدل معرفی شده است

$$Q_s = 7.06 Q_w^{2.36} \quad (10)$$

$$R^2 = 0.763$$

که در آن

$a_k = A_k / A_{res}$  بوده و  $A_k$  بیانگر سطح مخزن در مقطع  $k$  و  $i$  اولین مقطع عرضی در زیر قطعه مخزن مطابق شکل ۲ می باشد. شایان ذکر است که

$$\sum_{k=i}^N a_k = 1 \quad (7)$$

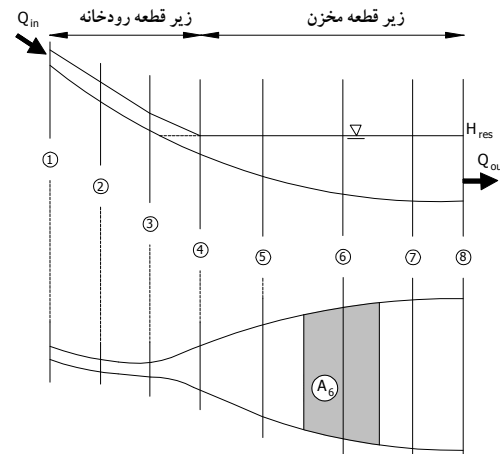
که در آن

$N$  تعداد مقاطع عرضی در سد می باشد. ترازهای سطح آب در سد، با استفاده از روندیابی تراز مخزن روباز محاسبه می شود. با فرض اینکه سطح آب مخزن افقی است، داریم

$$Q_{in} - Q_{out} = \frac{\Delta V}{\Delta t} \quad (8)$$

که در آن

$\Delta V$ ، تغییر حجم آب مخزن در طی هر گام زمانی می باشد. در اینجا از تغییر ذخیره با استفاده از جدول ظرفیت برای تعیین تراز آب مخزن سد،  $H_{res}$ ، استفاده می شود. این جدول با روش دروندیابی مطابق شکل ۳ به صورت نمایی تهیه می گردد. در این حالت مخزن به نوارهای افقی متوالی تقسیم گردیده و هر نوار، بلا فاصله از خط القع عرضی بالادست به بعد تعریف می گردد.



شکل ۲- نمایش زیر قطعات رودخانه و مخزن در روندیابی مخزن در مدل Gstars3 [۱۴]

$$V_{i \rightarrow j} = \frac{1}{3} \Delta x_{ij} (A_i + A_j + \sqrt{A_i A_j}) \quad (9)$$

که در آن

$V_{i \rightarrow j}$  حجم واقع بین مقاطع عرضی  $i$  و  $j$  فاصله بین مقاطع عرضی  $i$  و  $j$  و  $A_i$  و  $A_j$  مساحت مقطع عرضی  $i$  می باشد. شایان ذکر است که  $H_{res} = f(V_{res})$  با توجه به داده های جدول ظرفیت و بدون لحاظ داشتن احجام مرده مخزن محاسبه می گردد.

تعداد لوله‌های جریان، تعداد محاسبات رسوب در هر گام زمانی، وضعیت حمل نامتعادل رسوب و پارامترهای آن، و در نهایت پارامترهای حمل رسوب چسبنده، حساسیت فرایند نسبت به تغییر این پارامترها از طریق آزمون و خطاب بررسی می‌شود.

#### ۴-۳- تئوری محاسبه جریان غلیظ

یکی از قابلیتهای مدل Gstars3.0 این است که برای غلظتهاي بالا از مواد ریزدانه (جریان غلیظ) قابل تعیین است و برای بیان مفهوم نهشته شدن مواد ریزدانه از مفهوم سرعت سقوط استفاده می‌شود. در این مدل از رکوردي مانند CH برای در نظر گرفتن محاسبات جریان غلیظ استفاده می‌شود. پارامترهایی که در این رکورد به کار گرفته می‌شوند برای محاسبات سرعت سقوط ذرات رسوبی چسبنده قابل کاربرد می‌باشند [۱۷].

#### ۵- تجزیه و تحلیل نتایج حاصل از مدل

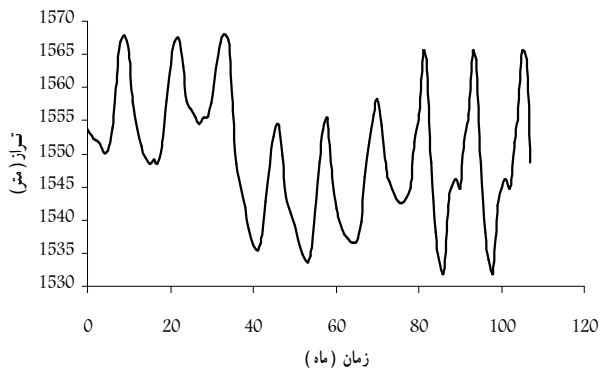
تصحیح مدل شامل مراحل شناخت پارامترها، تعیین حساسیت مدل نسبت به پارامترها و بالاخره کالیبراسیون مدل می‌باشد. با توجه به وجود نیمرخ رسوب‌گذاری در مخزن سد علیوان در حالت هیدروگرافی پس از گذشت ۹ سال از آبگیری سد، از این نیمرخ برای کالیبراسیون مدل Gstars3.0 استفاده شد. شبیه‌سازی با این مدل با استفاده از مفهوم سه لوله جریان، دبی‌های ورودی و ترازهای سطح آب ماهانه، رابطه دبی-رسوب و معادله لارسن در سال ۱۹۸۹ برای یک دوره زمانی ۹ ساله صورت گرفته است.

در شکل ۶ نیمرخ طولی رسوب در مخزن سد و در شکل ۷ نیمرخ عرضی رسوب در مقاطع مختلف مخزن برای حالت‌های مختلف بستر اولیه، آبنگاری شده و نتایج حاصل از مدل Gstars3.0 نشان داده شده است. همان‌گونه که از شکل ۶ پیداست، مواد درشت دانه با تشکیل دلتا در بالادست مخزن و در مصب رودخانه نهشته می‌شوند. مواد ریزدانه نیز با تشکیل جریان غلیظ در مجاورت بستر و تا ناحیه بالادست سد که مقطع عریض می‌شود، جریان یافته و نهشته می‌شوند [۲۹].

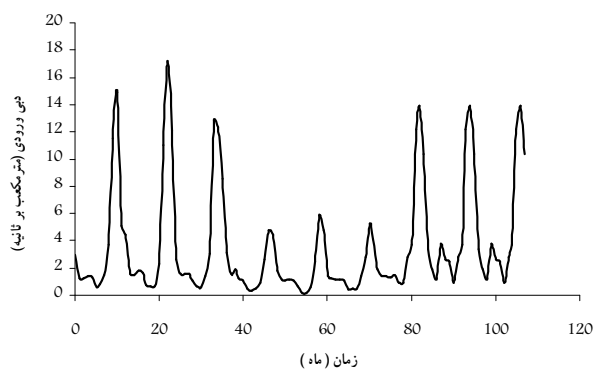
شکل ۷ و جدول ۱، نتایج مدل با داده‌های آبنگاری مورد مقایسه قرار گرفته است. همان‌طور که از شکل و داده‌های جدول مذکور پیداست در مقاطع ۹ و ۱۳ واقع در محدوده دلتا اختلاف مقادیر مدل و داده‌های آبنگاری حدکثر به حدود ۲۰ درصد می‌رسد در حالی که در مقاطع ۴ و ۲۵ واقع در خارج از محدوده دلتا، این اختلاف بین ۹ تا ۱۹ درصد تغییر می‌کند.

$Q_s$  دبی رسوب بر حسب تن بر روز و  $Q_w$  دبی آب بر حسب متراکعب بر ثانیه می‌باشد. دانه‌بندی مواد متشکله بستر در مقاطع مختلف، با استفاده از منحنی دانه‌بندی بستر و همچنین دانه‌بندی مواد معلق تهیه و به مدل معرفی گردیده است.

در شکل‌های ۴ و ۵ با توجه به داده‌های آماری موجود ترازهای سطح آب مخزن سد و دبی جریان ورودی نسبت به زمان، استخراج و نمایش داده شده است.



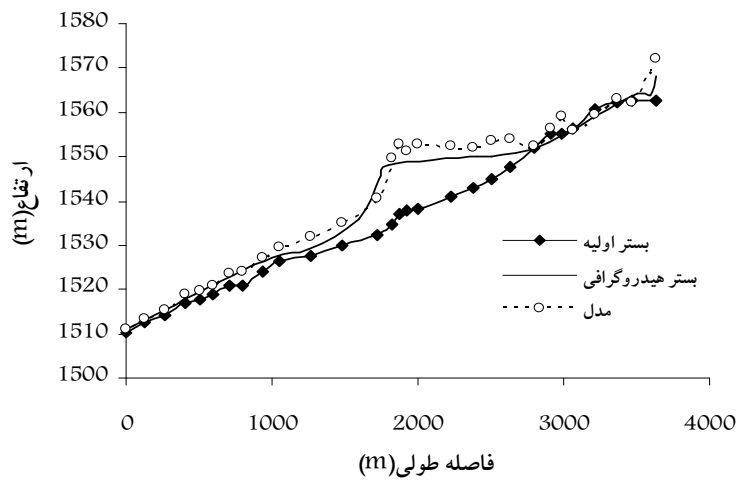
شکل ۴- ترازهای سطح آب مخزن سد علیوان نسبت به زمان



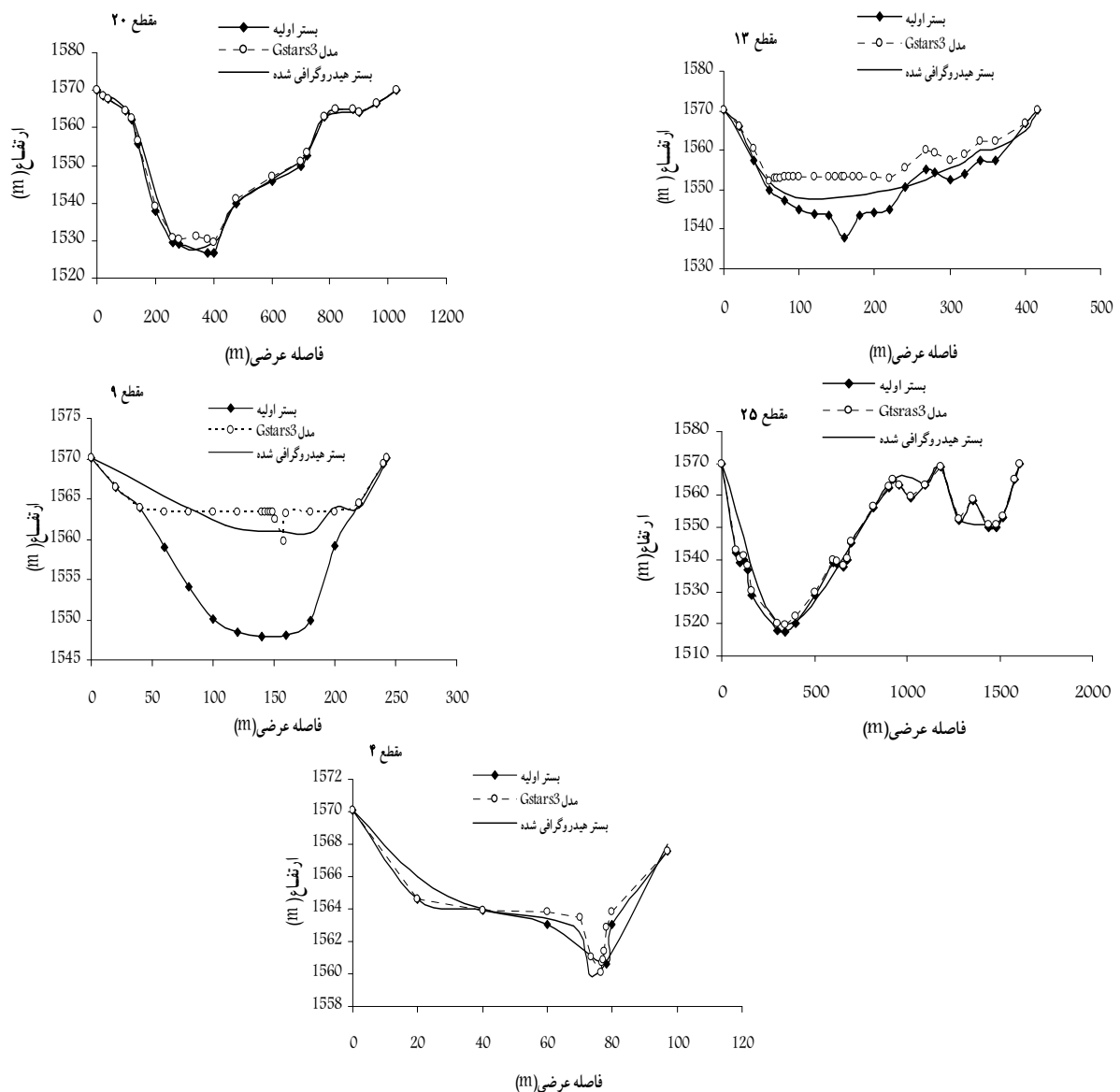
شکل ۵- دبی ورودی سد علیوان نسبت به زمان

۴-۱- نحوه واسنجی هیدرولیکی جریان در مدل برای واسنجی هیدرولیکی مدل از داده‌های دبی-اشن در ایستگاه هیدرومتری بالادست سد استفاده شده است. بدین ترتیب که با داشتن تراز سطح آب به ازای دبی‌های مختلف، مقدار ضریب مانینگ در مدل به نحوی انتخاب شد تا به ازای دبی معلوم ورودی، تراز سطح آب محاسبه شده توسط مدل با مقدار واقعی همخوانی داشته باشد.

۴-۲- نحوه واسنجی رسوب در مدل در این مدل عوامل تأثیرگذار عبارت‌اند از: نوع معادله حمل رسوب،



شکل ۶- نیميخ طولی رسوبگذاری در مخزن سد علیان بعد از ۹ سال رسوبگذاری



شکل ۷- تغییرات نیميخ عرضی مخزن سد علیان ناشی از رسوبگذاری در مقاطع مختلف

جدول ۱- مقایسه آماری بین نتایج مدل و داده‌های واقعی در مقاطع عرضی

| فاصله از<br>محور سد<br>(متر) | شماره<br>مقاطع | فاصله عرضی<br>قطعه (متر) | ارتفاع بستر از سطح دریا<br>به دست آمده از مدل<br>(Gstars3.0) | ارتفاع بستر از سطح دریا<br>به دست آمده از داده‌های<br>آبنگاری (متر) | میانگین<br>خطا<br>(درصد) | بیشینه<br>خطا<br>(درصد) |
|------------------------------|----------------|--------------------------|--|---|--------------------------|-------------------------|
| ۹                            | ۳              | .                        | ۱۵۷۰/.۰۸   | ۱۵۷۰/.۰۸  | .                        | .                       |
|                              |                | ۹                        | ۱۵۶۶/.۰۰   | ۱۵۶۴/.۵۸  | ۲۰                       |                         |
|                              |                | ۱                        | ۱۵۶۴/.۰۰   | ۱۵۶۳/.۸۸  | ۴۰                       |                         |
|                              |                | ۳                        | ۱۵۶۳/.۰۰   | ۱۵۶۳/.۴۹  | ۶۸                       | ۴                       |
|                              |                | ۱                        | ۱۵۶۰/.۰۰   | ۱۵۶۰/.۱۱  | ۷۵                       |                         |
|                              |                | ۳                        | ۱۵۶۸   | ۱۵۶۷/.۵۸  | ۹۷                       |                         |
| ۱۷                           | ۶              | .                        | ۱۵۷۰/.۰۸   | ۱۵۷۰/.۰۸  | .                        | .                       |
|                              |                | ۱۰                       | ۱۵۶۱/.۷۵   | ۱۵۶۳/.۳۸  | ۱۱۰                      |                         |
|                              |                | ۸                        | ۱۵۶۱/.۰۰   | ۱۵۶۹/.۷۳  | ۱۵۵                      |                         |
|                              |                | ۱۷                       | ۱۵۶۰/.۷۵   | ۱۵۶۳/.۴۰  | ۱۸۰                      | ۹                       |
|                              |                | ۴                        | ۱۵۶۴   | ۱۵۶۳/.۴۰  | ۲۰۰                      |                         |
|                              |                | ۲                        | ۱۵۶۴   | ۱۵۶۴/.۳۸  | ۲۲۰                      |                         |
| ۲۰                           | ۱۲             | ۲                        | ۱۵۶۹   | ۱۵۶۹/.۳۸  | ۲۴۰                      |                         |
|                              |                | ۱                        | ۱۵۷۰   | ۱۵۷۰/.۰۸  | ۲۴۲                      |                         |
|                              |                | .                        | ۱۵۷۰/.۰۸   | ۱۵۷۰/.۰۸  | .                        | .                       |
|                              |                | ۲۰                       | ۱۵۴۹   | ۱۵۵۲/.۱۵  | ۸۰                       |                         |
|                              |                | ۲۰                       | ۱۵۵۰   | ۱۵۵۳/.۰۷  | ۲۲۰                      |                         |
|                              |                | ۱۳                       | ۱۵۵۵/.۴۷   | ۱۵۵۷/.۴۷  | ۳۰۰                      |                         |
| ۱۵                           | ۳              | ۱۳                       | ۱۵۵۸/.۹۴   | ۱۵۵۸/.۹۴  | ۳۲۰                      | ۱۳                      |
|                              |                | ۱۳                       | ۱۵۶۰/.۲۴   | ۱۵۶۲/.۲۴  | ۳۴۰                      |                         |
|                              |                | ۱۳                       | ۱۵۶۰/.۳۸   | ۱۵۶۲/.۳۸  | ۳۶۰                      |                         |
|                              |                | ۱۳                       | ۱۵۶۴/.۸۸   | ۱۵۶۶/.۸۸  | ۴۰۰                      |                         |
|                              |                | .                        | ۱۵۷۰/.۰۸   | ۱۵۷۰/.۰۸  | ۴۱۶                      |                         |
|                              |                | .                        | ۱۵۷۰/.۰۸   | ۱۵۷۰/.۰۸  | .                        | .                       |
| ۱۹                           | ۶              | .                        | ۱۵۶۲/.۶۵   | ۱۵۶۲/.۶۵  | ۱۲۰                      |                         |
|                              |                | .                        | ۱۵۳۰/.۹  | ۱۵۳۰/.۹   | ۲۶۰                      |                         |
|                              |                | ۱۵                       | ۱۵۲۹/.۴۶   | ۱۵۳۱/.۷۶  | ۴۰۰                      |                         |
|                              |                | ۱۳                       | ۱۵۴۰   | ۱۵۴۱/.۹۰  | ۴۸۰                      |                         |
|                              |                | .                        | ۱۵۵۰/.۹۴   | ۱۵۵۰/.۹۴  | ۷۰۰                      | ۲۰                      |
|                              |                | .                        | ۱۵۵۳/.۴۸   | ۱۵۵۳/.۴۸  | ۷۲۰                      |                         |
| ۱۵                           | ۳              | .                        | ۱۵۶۲/.۷۸   | ۱۵۶۲/.۷۸  | ۷۸۰                      |                         |
|                              |                | .                        | ۱۵۶۴/.۰۸   | ۱۵۶۴/.۰۸  | ۹۰۰                      |                         |
|                              |                | .                        | ۱۵۶۶/.۳۸   | ۱۵۶۶/.۳۸  | ۹۶۰                      |                         |
|                              |                | .                        | ۱۵۷۰/.۰۸   | ۱۵۷۰/.۰۸  | ۱۰۲۹                     |                         |
|                              |                | .                        | ۱۵۷۰/.۰۸   | ۱۵۷۰/.۰۸  | .                        | .                       |
|                              |                | .                        | ۱۵۷۰/.۰۸   | ۱۵۷۰/.۰۸  | .                        | .                       |
| ۱۹                           | ۶              | ۱۳                       | ۱۵۱۹/.۸۱   | ۱۵۱۷/.۸۱  | ۳۴۰                      |                         |
|                              |                | ۱۳                       | ۱۵۶۵/.۰۸   | ۱۵۶۳/.۰۸  | ۹۲۰                      |                         |
|                              |                | ۱۹                       | ۱۵۶۳/.۰۸   | ۱۵۶۰/.۰۸  | ۱۱۰۰                     |                         |
|                              |                | .                        | ۱۵۶۹/.۰۸   | ۱۵۶۹/.۰۸  | ۱۱۸۰                     | ۲۵                      |
|                              |                | .                        | ۱۵۵۲/.۷۴   | ۱۵۵۲/.۷۴  | ۱۲۸۰                     |                         |
|                              |                | ۱۹                       | ۱۵۵۰/.۷۴   | ۱۵۴۷/.۷۴  | ۱۴۴۰                     |                         |
| ۱۹                           | ۳              | .                        | ۱۵۵۰/.۷۴   | ۱۵۵۰/.۷۴  | ۱۴۸۰                     |                         |
|                              |                | .                        | ۱۵۵۳/.۵۴   | ۱۵۵۳/.۵۴  | ۱۵۲۰                     |                         |
|                              |                | .                        | ۱۵۷۰/.۰۸   | ۱۵۷۰/.۰۸  | ۱۶۰۹/.۴                  |                         |

آبنگاری به دلیل درشت دانه بودن ذرات تطابق بهتری را نشان می‌دهد و بر اساس نتایج ارائه شده در جدول ۱ بیشینه خطای ایجاد شده، ۹ درصد و میانگین خطای ۳ درصد می‌باشد.

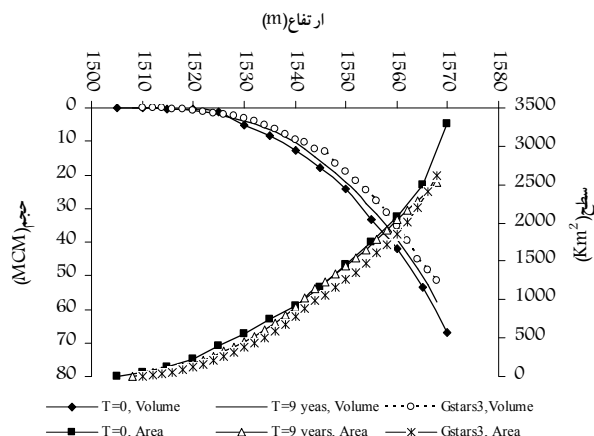
در مقطع ۴ واقع در فاصله ۳۲۱۸ متری از محل سد، به دلیل کاهش عرض مقطع، سرعت جریان افزایش یافته و باعث ایجاد فرسایش در آن مقطع شده است. نتایج حاصل از مدل و داده‌های

موردی انجام شده منطقی ترین الگوی رسوب، الگوی رسوبگذاری می‌باشد که از انتخاب تابع حمل رسوب لارسن در سال ۱۹۸۵ از مدل حاصل می‌گردد.

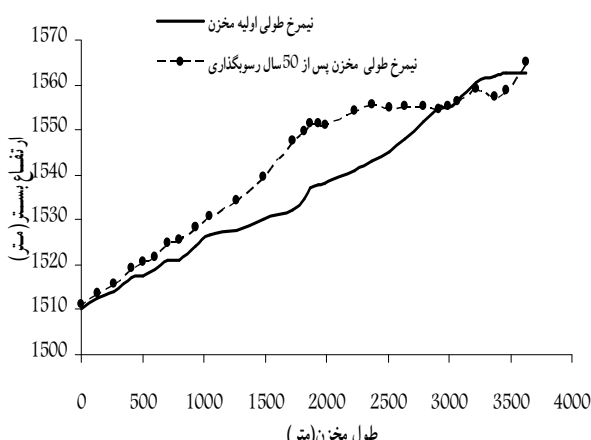
- از میان پارامترها و داده‌های ورودی مدل، تغییر در دمای آب، کمترین تأثیر را بر نتایج می‌گذارد و مدل به تغییر دما (در محدوده دماهای معمول و منطقی محیط موردنظر) حساسیت زیادی ندارد.

- انتخاب تعداد لوله‌های جریان در مدل سازی مهم است. در مطالعه موردی انجام شده تعداد سه لوله جریان در فایل ورودی در نظر گرفته شده و لذا تغییرات بستر در هر دو جهت قائم و جانبی توسط مدل شبیه‌سازی شده است.

- هرچه تعداد روندیابی رسوب در طول یک گام زمانی بیشتر باشد، توزیع رسوبات در داخل مخزن را بهتر پیش‌بینی می‌کند ولی در برآورد حجم کل رسوب تأثیری ندارد.



شکل ۸- نمودار مقایسه‌ای تغییرات حجم-سطح-ارتفاع



شکل ۹- تغییرات نیميخ طولی ناشی از رسوبگذاری در مخزن سد علویان پس از ۵۰ سال

در مقاطع ۹ و ۱۳ که به ترتیب در فواصل ۲۶۳۸ و ۱۹۹۵ متری از سد قرار گرفته‌اند، اختلاف نتایج حاصل از مدل و داده‌های اندازه‌گیری شده، به ترتیب خطای بیشینه به اندازه ۱۷ درصد و ۲۰ درصد و میانگین خطای به اندازه ۱۲ و ۲۵ درصد مشاهده می‌شود. در مقاطع ۲۰ و ۲۵ که به ترتیب در فواصل ۱۰۴۷ و ۵۰۶ متری از محل سد واقع شده‌اند، به دلیل افزایش عرض مقاطع و م Alla کاهش سرعت جریان، نهشته شدن رسوبات که اغلب به شکل مواد ریزدانه هستند، بیشتر به چشم می‌خورد و به ترتیب خطای بیشینه به اندازه ۱۵ درصد و ۱۹ درصد و میانگین خطای به اندازه ۳ درصد و ۶ درصد را به وجود می‌آورد.

در شکل ۸ تغییر حجم مخزن برای یک دوره زمانی شبیه‌سازی نمایش داده شده است. چنانکه از این شکل پیداست، با گذشت زمان، در اثر نهشته و انباشته شدن مواد رسوبی، حجم مفید مخزن به طور محسوس کاهش یافته است. در این شکل، رابطه حجم-ارتفاع-سطح مخزن برای حالت‌های مختلف قبل از رسوبگذاری، بعد از رسوبگذاری (حالت آبنگاری) و نتایج حاصل از مدل Gstars3.0، ارائه و مورد مقایسه و ارزیابی قرار گرفته است. از بررسی شکل مذکور چنین استنباط می‌شود که مدل از قابلیت خوبی برای پیش‌بینی روند رسوبگذاری در مخزن برخوردار است. با توجه به محاسبات انجام شده در جدول ۲ بیشینه خطای حاصل از مدل با نتایج آبنگاری در حدود ۲۱ درصد و میانگین خطای ۱۰ درصد می‌باشد که برای شبیه‌سازی مدل و در مقایسه با کار دیگران که میانگین خطای ۷ درصد را به دست آورده‌اند، قابل قبول تلقی می‌شود [۲۶].

شکل ۹، پیش‌بینی شبیه‌سازی مدل برای روند رسوبگذاری در یک دوره زمانی ۵۰ ساله سد را نشان می‌دهد. همان‌گونه که این شکل نشان می‌دهد، قسمت اعظم رسوبات که اغلب درشت دانه هستند در ابتدای مخزن با تشکیل دلتا نهشته می‌شوند. در پایین دست نیز تجمع رسوبات ریزدانه انجام می‌گیرد که توسط جریان‌های غلیظ حمل می‌شوند. نتیجه محاسبات، حجم مخزن را پس از طی ۵۰ سال، ۴۵ میلیون متر مکعب نشان می‌دهد، بدین معنی که پس از طی ۵۰ سال از عمر بهره‌برداری این مخزن، حدود ۲۵ درصد از ظرفیت مفید آن کاسته می‌شود.

## ۶- نتیجه گیری

- نتایج محاسبات بیانگر آن است که پس از طی ۵۰ سال، حجم رسوبات انباشته شده در مخزن به حدود ۱۵ میلیون متر مکعب بالغ می‌شود که تقریباً معادل ۲۵ درصد ظرفیت مفید مخزن است.

- نتایج اجرای مدل ریاضی Gstars3.0 نشان می‌دهد که مدل نسبت به تابع انتقال رسوب دارای بالاترین حساسیت می‌باشد. در مطالعه

جدول ۲- اختلاف حجمی مقادیر حاصل از مدل با نتایج آبگاری

| ارتفاع از سطح دریا (متر) | حجم مخزن (میلیون مترمکعب) در مدل 3.0 Gstars | حجم مخزن (میلیون مترمکعب) در واقعیت مکعب | خطا (درصد) در مدل | میانگین خطای (درصد) پیشینه خطای (درصد) | بیشینه خطای (درصد) |
|--------------------------|---|--|-------------------|--|--------------------|
| ۱۵۱۲                     | ۰/۰۴  | ۰/۰۴۷۹۹۴۹                                | ۰/۱۷              | ۰/۱۷                                   |                    |
| ۱۵۱۴                     | ۰/۱۳۸۹۹۴                                    | ۰/۱۷۵۱۵۷                                 | ۰/۲۱              | ۰/۲۱                                   |                    |
| ۱۵۱۶                     | ۰/۲۶۱۳۸۸                                    | ۰/۳۳۲۰۲۴                                 | ۰/۲۱              | ۰/۲۱                                   |                    |
| ۱۵۱۸                     | ۰/۴۵۷۲۹۸                                    | ۰/۵۵۵۹۶۸                                 | ۰/۱۸              | ۰/۱۸                                   |                    |
| ۱۵۲۰                     | ۰/۷۱۷۱۲۳                                    | ۰/۸۴۹۶۰۱                                 | ۰/۱۶              | ۰/۱۶                                   |                    |
| ۱۵۲۲                     | ۱/۰۷۵۴۸۷                                    | ۱/۲۱۷۳۸۴                                 | ۰/۱۲              | ۰/۱۲                                   |                    |
| ۱۵۲۴                     | ۰/۵۱۶۵۳۳                                    | ۱/۶۸۴۴۹۲                                 | ۰/۱۰              | ۰/۱۰                                   |                    |
| ۱۵۲۶                     | ۲/۰۷۹۳۲۴                                    | ۲/۲۷۴۰۷۶                                 | ۰/۰۹              | ۰/۰۹                                   |                    |
| ۱۵۲۸                     | ۲/۵۵۲۳۵۵                                    | ۲/۹۸۰۶۳۸                                 | ۰/۱۴              | ۰/۱۴                                   |                    |
| ۱۵۳۰                     | ۳/۳۲۹۷۲۲                                    | ۳/۸۱۸۸۸۸                                 | ۰/۱۳              | ۰/۱۳                                   |                    |
| ۱۵۳۲                     | ۴/۱۱۹۱۹۶                                    | ۴/۷۹۳۶۴                                  | ۰/۱۴              | ۰/۱۴                                   |                    |
| ۱۵۳۴                     | ۵/۲۴۴۶۹۹                                    | ۵/۹۱۱۲۸۵                                 | ۰/۱۱              | ۰/۱۱                                   |                    |
| ۱۵۳۶                     | ۶/۳۲۷۶۶۱                                    | ۷/۲۰۴۳۳۴                                 | ۰/۱۲              | ۰/۱۲                                   |                    |
| ۱۵۳۸                     | ۷/۹۹۷۳۸۱                                    | ۸/۶۹۰۴۷۶                                 | ۰/۰۸              | ۰/۰۸                                   |                    |
| ۱۵۴۰                     | ۹/۳۵۰۹۲۵                                    | ۱۰/۳۸۸۴۴۴                                | ۰/۱۰              | ۰/۱۰                                   | ۲۱                 |
| ۱۵۴۲                     | ۱۰/۲۷۴۸۶۴                                   | ۱۲/۳۱۶۹۲۵                                | ۰/۱۷              | ۰/۱۷                                   | ۳۱                 |
| ۱۵۴۴                     | ۱۲/۱۶۶۹۹۸                                   | ۱۴/۴۷۵۹۶۷                                | ۰/۱۶              | ۰/۱۶                                   |                    |
| ۱۵۴۶                     | ۱۳/۲۲۱۱۳۳                                   | ۱۶/۸۳۸۸۷۳                                | ۰/۲۱              | ۰/۲۱                                   |                    |
| ۱۵۴۸                     | ۱۶/۴۷۶۷۹۹                                   | ۱۹/۳۹۲۰۸۱                                | ۰/۱۵              | ۰/۱۵                                   |                    |
| ۱۵۵۰                     | ۱۸/۹۴۴۲۹۱                                   | ۲۲/۱۵۳۲۲۶                                | ۰/۱۴              | ۰/۱۴                                   |                    |
| ۱۵۵۲                     | ۲۱/۶۶۴۳۰۴                                   | ۲۵/۱۲۷۴۱                                 | ۰/۱۴              | ۰/۱۴                                   |                    |
| ۱۵۵۴                     | ۲۴/۶۱۱۶۵۳                                   | ۲۸/۳۲۰۶۳۶                                | ۰/۱۳              | ۰/۱۳                                   |                    |
| ۱۵۵۶                     | ۲۷/۸۰۵۳۲۵                                   | ۳۱/۷۵۵۷۲۴                                | ۰/۱۲              | ۰/۱۲                                   |                    |
| ۱۵۵۸                     | ۳۱/۳۲۸۵۲۸                                   | ۳۵/۴۳۹۴۹۳                                | ۰/۱۲              | ۰/۱۲                                   |                    |
| ۱۵۶۰                     | ۳۵/۳۰۱۸۶۳                                   | ۳۹/۳۷۹۵۰۴                                | ۰/۱۰              | ۰/۱۰                                   |                    |
| ۱۵۶۲                     | ۳۹/۴۸۶۱۹۸                                   | ۴۳/۵۸۵۱۶۴                                | ۰/۰۹              | ۰/۰۹                                   |                    |
| ۱۵۶۴                     | ۴۴/۹۶۴۴۵۹                                   | ۴۸/۰۳۴۱۵۹                                | ۰/۰۶              | ۰/۰۶                                   |                    |
| ۱۵۶۶                     | ۴۸/۳۶۲۵۱                                    | ۵۲/۷۲۴۵۷۵                                | ۰/۰۸              | ۰/۰۸                                   |                    |
| ۱۵۶۸                     | ۵۱/۵۲۲۱۱                                    | ۵۷/۶۷۰۲۱۹                                | ۰/۱۱              | ۰/۱۱                                   |                    |

## ۷- پیشنهادها

- جهت مقایسه نتایج مدل Gstars3.0 و برآورد دقیق تر رسوبرگذاری، می‌توان از مدل‌های دو بعدی نظیر River Intake یا SSIIM در رسوبرگذاری در مخازن استفاده کرد و نتایج حاصله را با مقادیر واقعی اندازه‌گیری شده و نتایج مدل Gstars3.0 مقایسه کرد.
- مدل Gstars3 قابلیت محاسبات فرسایش و رسوبرگذاری را دارد.

## ۸- تقدیر و تشکر

این مقاله با حمایت مالی و اعتبار ویژه پژوهشی دانشگاه تبریز تهیه گردیده است. بدین وسیله از معاونت محترم پژوهش و فناوری دانشگاه تبریز تقدیر و تشکر به عمل می‌آید.

<sup>1</sup> Flashing

## ۹- مراجع

- ۱- شفاعی بجستان، م. (۱۳۸۴). هیدرولیک رسوب، انتشارات دانشگاه شهید چمران اهوان.
- ۲- صمدی بروجنی، ح. و موسوی، س. ف. (۱۳۷۷). "یک مدل ریاضی جهت برآورد مقدار رسوب‌گذاری در مخازن سدهای کوچک (فاقد آمار)"، م. آب و فاضلاب، ۲۶، ۴۳، ۲۸-۲۹.
- ۳- شمسایی، ا. و چشمکه کبودی، ا. (۱۳۸۱). "پیش‌بینی عددی درازمدت رسوب در سد مخزنی اکباتان"، م. آب و فاضلاب، ۴۳، ۳۷-۴۳.
- ۴- موسوی، س. ف.، حیدرپور، م. و شعبانلو، س. (۱۳۸۵). "بررسی رسوب در مخزن سد زاینده‌رود با استفاده از مدل‌های تجربی افزایش و کاهش سطح"، م. آب و فاضلاب، ۵۷، ۵۷-۸۲.
- ۵- حسن‌زاده، ی. (۱۳۷۸). "اثر رسوب‌گذاری در کاهش ظرفیت مخازن سدها". مجموعه مقالات چهارمین کارگاه آموزشی کمیته تخصصی هیدرولیک در سدها، کمیته ملی سدهای بزرگ ایران.
- 6- Cunge, J. A., Holly, F. M., and Varway, A. (1980). *Practice aspects of computational river hydraulics*, Rirtman, London.
- 7- Dawdy, D. R., and Vanoni, V. A. (1986). "Modeling alluvial channels." *Water Resources Research*, 22 (9), 71-81.
- 8- Gill, M. A. (1983). "Diffusion model for aggrading channels." *J. Hydrulic and Research Inter. Assoc. Hydrulic Research*, 21 (5), 369-378.
- 9- Lyn, D. A. (1987). "Unsteady sediment transport modeling." *J. Hydrulic Engineering*, 113 (1), 1-15.
- 10- Chang, H. H., Harrlson, L. L., Lee, W., and Tu, S. (1996). "Numerical modeling for sediment -pass-through reservoirs." *Journal of Hydraulic Engineering*, 122 (7), 381-388.
- ۱۱- حسن‌زاده، ی. و اعلمی، م. ت. (۱۳۷۶). "مدل ریاضی رسوب‌گذاری در مخازن سدها". م. دانشگاه تبریز، ۱۸، ۴۳-۳۱.
- 12- De Cesare, G., Schleiss, A., and Hermann, F. (2001). "Impact of turbidity currents on reservoir sedimentation." *Journal of Hydraulic Engineering*, 127 (1), 6-16.
- 13- Fox, G. A., Wilson, G. V., Periketi, R. K., and Cullum, R. F. (2006). "Sediment transport model for seepage erosion of stream bank sediment." *Journal of Hydraulic Engineering*, 11 (6), 603-611.
- 14- Ravens, T. M. (2007). "Comparation of two techniques to measure sediment erodibility in the Fox river, Wisconsin." *Journal of Hydraulic Engineering*, 133 (1), 111-115.
- 15- Molinas, A., and Yang, C. T. (1998). *User's manual for Gstars2.0 (Generalized Stream Tube for Alluvial River Simulation, Version 2.0)*, USBR.
- 16- Molinas, A., and Yang, C. T. (2002). *User's manual for Gstars2.1 (Generalized Stream Tube for Alluvial River Simulation, Version 2.1)*, USBR.
- 17- Yang, C. T., and Simoes, F. J. M. (2002). *User's manual for Gstars3.0 (Generalized Stream Tube for Alluvial River Simulation, Version 3.0)*, USBR.
- 18- Yang, C. T., Simoes, F. J. M., Huang, J., and Greimann, B. (2006). "Generalized sediment transport models for alluvial rivers and reservoirs." *US-China Workshop on Advanced Computational Modeling in Hydroscience & Engineering*, September, 19- 21, Oxford, Mississippi, USA.
- 19- Yang, C. T., and Simoes, F. J. M. (1998). "Application of Gstars to river sedimentation studies." 9<sup>th</sup> ISAS, Civil Engineering Department, Colorado State University, Fort Collins.
- 20- Yang, C. T., and Simoes, F. J. M. (2002). *A numerical model for reservoirs sedimentation (Gstars3.0)*, Civil Engineering Department, Colorado State University, Fort Collins.
- 21- Yang, C. T., and Simoes, F. J. M. (1998). "Simulation and prediction of river morphologic changes using Gstars2.0." *US-China Workshop on Advanced Computational Modeling in Hydroscience & Engineering*, September, 19- 21, Oxford, Mississippi, USA.
- 22- Cellino, M., and Essyad, K. (2002) "Reduction of sediment deposition by introducing an artificial Stony Bank. A practical example in upper Rhone river, Switzerland." *Proc. of the International Conference on Fluvial Hydraulics*, Louvain, Belgium, 951-959.
- ۲۳- اعلمی، م. ت. (۱۳۸۳). "بررسی مدل‌های ریاضی رسوب‌گذاری مخازن و مقایسه آن با روش‌های شبکه عصبی مصنوعی". پایان نامه دکتری، دانشگاه کشاورزی، دانشگاه تبریز.
- ۲۴- تربن، س. ع. (۱۳۸۲). "شبیه سازی رسوب‌گذاری در مخزن سدها با استفاده از مدل‌های یک بعدی، شبیه دو بعدی و سه بعدی". پایان نامه کارشناسی ارشد، دانشکده عمران، دانشگاه تربیت مدرس، تهران.
- ۲۵- منطقی نوین، م. (۱۳۸۵). "بررسی نحوه توزیع رسوب در سطح مخزن سد یامچی به روشنی مدل HEC-6". پایان نامه کارشناسی ارشد، دانشکده فنی مهندسی، دانشگاه تبریز.
- ۲۶- مرسولی، ر. (۱۳۸۶). "کاربرد دبی ویژه دراز مدت رسوبات رودخانه در تحلیل رسوب‌گذاری مخازن سدها". پایان نامه کارشناسی ارشد، دانشکده فنی مهندسی، دانشگاه تبریز.
- ۲۷- روابط عمومی آب منطقه‌ای آذربایجان شرقی و اردبیل. (۱۳۸۵). *گزارش سد علیابان مراغه*.
- ۲۸- شرکت مهندسین مشاور مهاب قدس. (۱۳۷۳). *خلاصه گزارش سد علیابان*.
- ۲۹- فیضی خانکندي، ا. (۱۳۸۶). "بررسی روند رسوب‌گذاری در کارابی سد مخزنی علیابان با مدل ریاضی". پایان نامه کارشناسی ارشد، دانشکده فنی مهندسی، دانشگاه تبریز.